

پایداری و بازده گرمایی یک استخر خورشیدی کوچک

علی اکبر بیدختی* و علیرضا محمدنژاد**

مؤسسه ژئوفیزیک دانشگاه تهران، دانشکده کشاورزی دانشگاه پیر جند

(دریافت مقاله: ۱۳۷۴/۱۰/۳۰ - دریافت نسخه نهایی: ۱۳۷۵/۸/۱۵)

چکیده - در این پژوهش، یک استخر خورشیدی کوچک با گرادیان نمک به مساحت متوسط $1/8$ مترمربع که شامل سه ناحیه ذخیره گرمایی، ناحیه گرادیانی و ناحیه سطحی با عمقهای به ترتیب $0/3$ ، $0/27$ و $0/07$ متر، است، ساخته شده است. شوری در ناحیه ذخیره ساز به طور یکنواخت kg/m^3 است، از میزان شوری ناحیه گرادیانی به تدریج و به طور خطی از پایین به طرف بالا کاسته شده و ناحیه سطحی عمدتاً آب شیرین است. به منظور مطالعه چگونگی تغییرات دمای لایه‌های مختلف، بازدهی گرمایی استخر و فرسایش ناحیه گرادیانی، دما و شوری در عمقهای مختلف در طی 30 روز به طور پیوسته اندازه‌گیری شده است. دمای بیشینه ناحیه ذخیره ساز پس از حدود هشت روز به حدود 65 درجه سانتیگراد رسیده و بازده گرمایی استخر بین 20 تا 35 درصد محاسبه شد. فرسایش ضخامت ناحیه گرادیانی حدود $2/5$ سانتیمتر در ماه است که با میزان محاسبه شده براساس عدد ریچاردسون که از مرتبه 10^4 است، همخوانی دارد. تغییرات شبانه روزی دمای ناحیه ذخیره گرمایی به دلیل کوچک بودن حجم، دارای دامنه نسبتاً زیاد حدود 8 درجه سانتیگراد است. با وجود بالابردن دمای ناحیه ذخیره گرمایی و دیواره شبیب دار، اثری از پدیده پخش دوجانبه در استخر ملاحظه نشده است.

The Stability and Thermal Performance of a Small Solar Pond

A. A. Bidokhti and A. R. Mohamadnejad

Institute of Geophysics, Tehran University

ABSTRACT- A small salt gradient solar pond with an average surface area of $1.8 m^2$ and depth of $0.8m$ has been tested. The depths of storage, gradient and surface zones are 0.3 , 0.27 and $0.07m$, respectively. The temperature of the storage zone for the summer days reaches its maximum of $65^\circ C$ after about 8 days. Daily variation of the storage zone temperature was about $8^\circ C$ which is due to small volume of this zone. The thermal absorption of the pond varies between 35 to 20 percent of the total solar radiation, depending on the

* استادیار ** مریضی

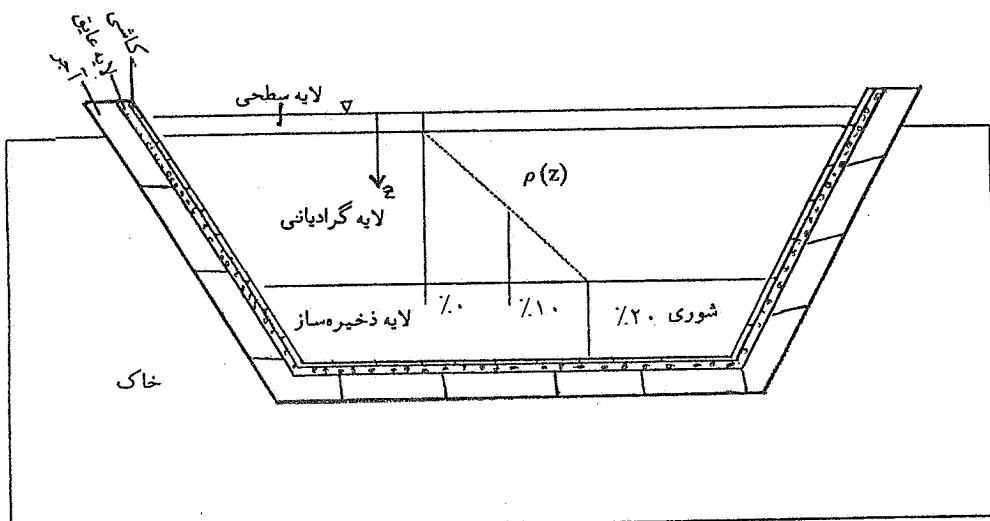
فهرست علائم	
معادله (۵)	ضریب پخش نمک، D_s
ضریب انبساط گرمایی، $\frac{1}{C}$	m^2/s
معادله (۱)	عدد پایداری، بی بعد، R_s
ضریب تغییر چگالی بر اثر شوری، $\frac{1}{\text{شوری}} \cdot \text{معادله (۱)}$	عدد ریچاردسون، بی بعد، R_i
کار انجام شده، J ، معادله (۸)	مقدار ثابت، بی بعد، معادله (۱۰)
شواری، $\frac{\text{نمک}}{\text{محول}} \cdot \text{معادله (۱)}$	شار نمک، $\frac{gr}{kg} (m/s)$
معادله (۸)	معادله (۳)
تغییر انرژی جنبشی، J ، معادله (۸)	شتاب ثقل (m/s^2)، g
معادله (۸)	معادله (۸)
معادله (۱)	سرعت نمونه همرفتی، U
معادله (۱۰)	سرعت m/s
چگالی، ρ	سرعت درون آمیختگی، U_e
معادله (۱)	سرعت m/s
بالایی در اجرای پروژه‌های استخراج خورشیدی و کاربرد آنها دارد. طی چند دهه گذشته تحقیقات متعددی در کشورهای مختلف روی استخراج خورشیدی صورت گرفته است، مثلاً در مرجع [۲] مزبوری براغلب آنها آمده است، امدادیران کارهای انجام شده، به خصوص تجربی بسیار محدود بوده است. تحقیقات انجام شده اغلب روی نگهداری، دمای ناحیه ذخیره ساز ^۲ ، بازده گرمایی ^۳ ، برداشت گرما و جذب انرژی خورشیدی استخراج‌های خورشیدی بوده است. در یک استخراج خورشیدی دمای ناحیه (لایه) ذخیره ساز به عوامل زیادی از جمله وسعت استخراج، عمق لایه‌های مختلف و میزان تابش خورشید بستگی دارد. با تحقیقاتی که توسط سرنسیوسان [۳] انجام گرفته نشان داده شده که دمای بیشینه ناحیه ذخیره ساز به طور مستقیم به وسعت استخراج بستگی دارد. با زیاد شدن وسعت استخراج، به دلیل اینکه نسبت سطوح جانبی به حجم کل ناحیه ذخیره ساز کم می‌شود، دمای ناحیه ذخیره ساز با وسعت آن به طور نمایی	با توجه به نیاز روز افزون بشر به انرژی و اینکه سوختهای فسیلی رو به اتمام است و سوختن آنها تولید آلودگیهای زیست - محیطی و خاصیت گلخانه‌ای در جو می‌کند، ضرورت استفاده از انرژیهای دیگر از جمله انرژی خورشیدی بیش از پیش احساس می‌شود. در طی چند دهه گذشته روش‌های بسیار متنوعی برای این منظور ارائه شده که بعضاً به لحاظ اقتصادی و سادگی کاربرد، مقرون به صرفه است. استخراج خورشیدی ^۱ یکی از این روش‌های است که در مقیاس بزرگ با هزینه کمتر نسبت به پروژه‌های مشابه قابل اجراست [۱]. از استخراج خورشیدی می‌توان برای تولید انرژی برای مصارف گرم کردن فضاهای مسکونی و صنعتی و یا تولید برق و یا مصارف کارگاهی استفاده کرد.
معادله (۱۰)	ایران از لحاظ داشتن مقدار تابش خورشیدی سالیانه بالا و معادن نمک فراوان و برکه‌ها و دریاچه‌های نمک طبیعی، پتانسیل

temperature of the storage zone. Salinity of the storage zone is about 200 gr/kg and the density gradient of the gradient zone is about $5 \times 10^{-3} \text{ gr/cm}^4$ which with typical fluid velocity of the convective zone gives a Richardson number, R_i , of order of 10^4 . Erosion of the gradient zone based on this R_i is about 2.5 cm/month which is in agreement with the observations. Although the temperature of the storage zone reaches high values, with sloped wall, no sign of double diffusive convection was observed.

۱- مقدمه

با توجه به نیاز روز افزون بشر به انرژی و اینکه سوختهای فسیلی رو به اتمام است و سوختن آنها تولید آلودگیهای زیست - محیطی و خاصیت گلخانه‌ای در جو می‌کند، ضرورت استفاده از انرژیهای دیگر از جمله انرژی خورشیدی بیش از پیش احساس می‌شود. در طی چند دهه گذشته روش‌های بسیار متنوعی برای این منظور ارائه شده که بعضاً به لحاظ اقتصادی و سادگی کاربرد، مقرون به صرفه است. استخراج خورشیدی^۱ یکی از این روش‌های است که در مقیاس بزرگ با هزینه کمتر نسبت به پروژه‌های مشابه قابل اجراست [۱]. از استخراج خورشیدی می‌توان برای تولید انرژی برای مصارف گرم کردن فضاهای مسکونی و صنعتی و یا تولید برق و یا مصارف کارگاهی استفاده کرد.

ایران از لحاظ داشتن مقدار تابش خورشیدی سالیانه بالا و معادن نمک فراوان و برکه‌ها و دریاچه‌های نمک طبیعی، پتانسیل



شکل ۱ - ساختار یک استخر خورشیدی و نمایی از ساختار سازه‌ای استخر

گرما به سطح استخر است و مشابه یک عایق شفاف عمل می‌کند. انتقال گرما از این لایه فقط با پخش (دیفیوژن) مولکولی میسر است که میزان آن بسیار کم است. نقش لایه سطحی، محافظت فیزیکی از لایه گرادیانی است. برای اینکه حرکتهای تلاطمی و همرفتی ناشی از ناپایداری به وجود آمده در ناحیه ذخیره ساز نتواند به طرف سطح استخر نفوذ کند، ناحیه گرادیانی را با یک گرادیان چگالی پایدار برپا می‌کنند. یعنی شوری از بالا به طرف لایه ذخیره ساز به تدریج و به طور خطی زیاد می‌شود. این لایه مثل عایق شفاف جامد، جلوی حرکتهای همرفتی را می‌گیرد، اما هدایت مولکولی گرما در آن باعث به وجود آمدن گرادیان دما می‌شود.

بنابراین در لایه گرادیانی، شوری و دما، S و T تابع Z بوده و در نتیجه چگالی، ρ نیز تابعی از Z است. معادله حالت برای آب عبارت است از [۵] :

$$\rho = \rho_r (1 - \alpha(T - T_r) + \beta(S - S_r)) \quad (1)$$

در رابطه بالا، α و β به ترتیب ضریب انبساط گرمایی و ضریب تغییر چگالی توان با تغییر غلظت نمک و ρ_r ، T_r و S_r چگالی، شوری و دما در نقطه مرجع هستند. معادله (۱) را می‌توان، با در نظر گرفتن محور Z به طرف پایین، به شکل زیر نوشت:

$$\frac{1}{\rho_r} \frac{d\rho}{dz} = -\alpha \frac{dT}{dz} + \beta \frac{dS}{dz} \quad (2)$$

افزایش می‌باید. اکبرزاده نیز تحقیقاتی راجع به اثر تخریبی دیوارهای مایل روی ناحیه گرادیانی^۴ کرده و نشان داده که دیوارهای مایل ایجاد سلولهای همرفتی در ناحیه گرادیانی می‌کنند [۴].

هدف از اجرای این پروژه، مطالعه تجربی روی یک نمونه استخر خورشیدی در مقیاس کوچک، برای مطالعه پایداری، بازدهی گرمایی و نحوه نگهداری در یک ناحیه در ایران است. نتایج آن می‌تواند در طرحهای صنعتی و به ویژه برای تأمین انرژی گرمایی در واحدهای مسکونی در روستاهای دورافتاده و یا در مقیاس بزرگتر برای تولید برق به کار رود.

۲- ساختار و پایداری یک استخر خورشیدی

مطابق شکل (۱)، یک استخر خورشیدی از سه ناحیه ذخیره ساز گرما، ناحیه گرادیانی نمک و ناحیه سطحی تشکیل شده است. شوری در ناحیه ذخیره ساز یکنواخت است و در ناحیه گرادیانی با کاهش عمق به طور خطی کم می‌شود. لایه سطحی^۵ عمدتاً آب شیرین است. در این بررسی، میزان شوری ناحیه ذخیره ساز ۲۰۰ gr/kg و در ناحیه گرادیانی این شوری به تدریج کم می‌شود و در لایه سطحی به صفر می‌رسد. انرژی خورشیدی موجب گرم شدن کف استخر شده و حرکتهای همرفتی، انرژی جذب شده را در تمام لایه ذخیره ساز پخش می‌کند و باعث یکنواختی دما در این ناحیه می‌شود. نقش لایه (ناحیه) گرادیانی جلوگیری از همرفت و انتقال

انرژی پتانسیل تبدیل نشود، دو بسته از سیال مخلوط نخواهد شد. یعنی قسمتی از انرژی جنبشی باید کار لازم برای مخلوط شدن (تبدیل به انرژی پتانسیل) دو بسته را فراهم کند. بدون در نظر گرفتن اصطکاک، و با فرض اینکه صد درصد انرژی جنبشی می‌تواند به انرژی پتانسیل تبدیل شود، شرایط پایداری می‌تواند با عدد ریچاردسون بیان شود. عدد ریچاردسون^۸ عبارت است از نسبت کار لازم برای اختلاط دو بسته سیال δW به تغییر انرژی جنبشی آنها، δK . بنابراین شرط پایداری هیدرودینامیکی عبارت است از:

$$Ri = \frac{\delta W}{\delta K} = \frac{g \frac{d\rho}{dz}}{\rho \left(\frac{\partial u}{\partial z} \right)^2} \geq 1 \quad (8)$$

اما عدد ریچاردسون کلی در یک لایه به ضخامت h برای حالت مورد نظر به شکل زیر است [۵]:

$$Ri = \frac{g \Delta \rho h}{\mu U^2} \quad (9)$$

که U سرعت همرفتی در مرز لایه گرادیانی و ذخیره ساز، $\Delta \rho$ اختلاف چگالی بین پایین و بالای لایه، μ چگالی متوسط و g شتاب ثقل است. حرکتهای همرفتی تلاطمی در مرز مشترک لایه گرادیانی و لایه ذخیره ساز و همین طور لایه سطحی باعث خوردنگی لایه گرادیانی و کاهش ضخامت آن با زمان می‌شود. این فرایش را اگر به صورت تغییرات ضخامت لایه با زمان، $\frac{dh}{dt}$ نشان دهیم، تابعی از عدد ریچاردسون به شکل زیر است [۵]:

$$\frac{dh}{dt} = U_e \equiv c R_i^{-n} U \quad (10)$$

که U_e سرعت درون آمیختگی^۹ و U سرعت نمونه همرفتی در مرز مشترک است. ضرایب c و n ثابت‌های تجربی هستند که مقدار آنها برای شرایط پیش‌گفته به ترتیب $0/35$ و $0/17$ است [۵]. اگر فرایش لایه گرادیانی در مدت طولانی ترمیم نشود، عملکرد طولانی استخراج خورشیدی می‌تواند مسئله ساز شود. برای ترمیم و نگهداری آن از روش‌های تجربی استفاده می‌شود [۵]. اتلاف گرمایی در استخراج خورشیدی، از طریق پخش مولکولی

توزیعهای T و S به گونه‌ای است که هر دو از بالای ناحیه گرادیانی به طرف کف استخراج زیاد می‌شوند. شار گرما و نمک هر دو تابع z هستند، به طوری که مثلاً معادله انتقال نمک در جهت قائم عبارت است از [۵]:

$$\frac{dS}{dt} = \frac{\partial F}{\partial z} \quad (3)$$

$$F = - D_s \frac{\partial S}{\partial z} \quad (4)$$

که D_s و F به ترتیب ضریب پخش مولکولی نمک و شار پخش نمک است. معادله (۳) را می‌توان به شکل زیر نوشت:

$$\frac{\partial S}{\partial t} + w \frac{\partial S}{\partial z} = - \frac{\partial}{\partial z} \left(D_s(z) \frac{\partial S}{\partial z} \right) \quad (5)$$

با ناچیز بودن مولفه قائم حرکت، w ، در لایه گرادیانی (بدون همرفت طبیعی در این لایه) جمله دوم سمت چپ معادله (۵) حذف می‌شود و تغییر S با زمان در هر نقطه فقط توسط پخش مولکولی ایجاد می‌شود. مشابه معادله بالا را برای دما نیز می‌توان نوشت.

برای اینکه عمل استخراج در جلوگیری از همرفت موثر باشد، باید لایه گرادیانی همواره پایدار باشد و آن در صورتی است که:

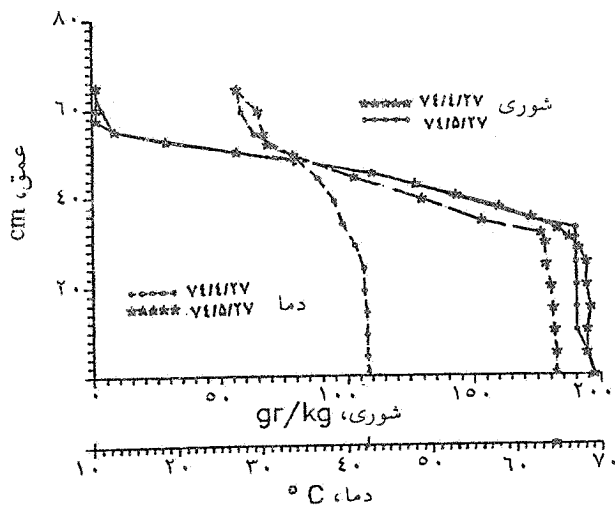
$$\frac{d\rho}{dz} \geq \beta \frac{dS}{dz} \geq \alpha \frac{dT}{dz} \quad (6)$$

بنابراین $\frac{dS}{dz}$ در استخراج طوری انتخاب می‌شود که همیشه این شرط، برقرار باشد. برای یک لایه گرادیانی به ضخامت Δz می‌توان رابطه (۶) را به صورت زیر نوشت:

$$\beta \frac{\Delta S}{\Delta z} \geq \alpha \frac{\Delta T}{\Delta z} \quad \text{یا} \quad R_p = \frac{\beta \Delta S}{\alpha \Delta T} \geq 1 \quad (7)$$

شرط بالا شرط پایداری استاتیکی است، ولی اگر چشممه‌های ناپایداری غیر از گرانش وجود داشته باشند شرط استاتیکی^{۱۰} برای پایداری کافی نیست. در این صورت شرط پایداری هیدرودینامیکی^۷ را باید به کار برد [۵].

در هنگام ادغام دو بسته سیال، اگر قسمتی از انرژی جنبشی به

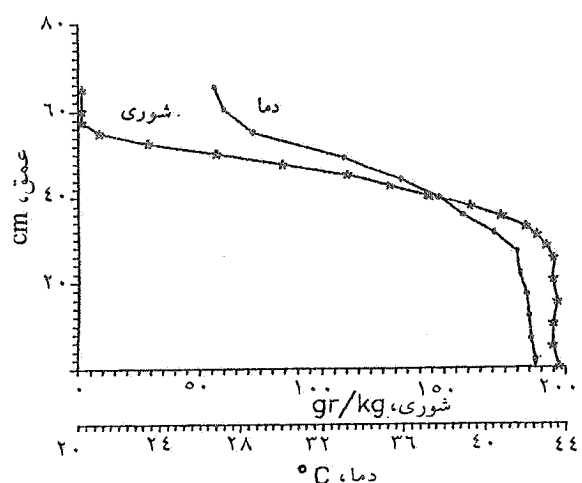


شکل ۳- نیمرخ قائم شوری و دمای استخر در روزهای ۷۴/۵/۲۷ و ۷۴/۴/۲۷

شکل (۲) نیمرخ شوری و دما در روز ۷۴/۴/۲۷ (پایان دومین روزی که استخر پر شد) نشان می‌دهد. در این شکل، ناحیه ذخیره ساز و لایه سطحی با دما و شوری تقریباً یکنواخت دیده می‌شوند. ناحیه گرادیانی، با توزیع تقریباً خطی شوری و دمابا عمق مشخص است.

شکل (۳) نیمرخ قائم شوری و دما را در تاریخ ۷۴/۴/۲۷ و ۷۴/۵/۲۷ نشان می‌دهد. با مقایسه نیمرخهای به خصوص شوری، کاسته شدن ضخامت لایه گرادیانی در طی ۳۰ روز به میزان $2/5\text{cm}$ مشاهده می‌شود. از این میزان، $1/5$ سانتیمتر مربوط به فرسایش پایین ناحیه و حدود 1cm مربوط به بالای ناحیه است. علت این کاهش، خورده شدن تدریجی لایه گرادیانی در اثر تلاطم و همرفت در مرز مشترک آن با لایه ذخیره ساز و لایه سطحی است. بنابراین ضخامت لایه گرادیانی استخر خورشیدی باید به گونه‌ای انتخاب شود تا این فرسایش، در مدت زمان کار استخر لطمه شدیدی به عمل نکرد لایه گرادیانی آن وارد نکند. البته راههایی برای ترمیم لایه گرادیانی وجود دارد که در مرجع [۵] آورده شده است، و به بعضی از آنها بعداً اشاره خواهد شد.

شکل (۴) تغییرات دمای پیشینه لایه ذخیره ساز را با زمان نشان می‌دهد. دما پس از هشت روز به حدود 65°C درجه می‌رسد. این مقدار در شرایطی بدست آمده که روی استخر در شبها با روش نایلونی پوشیده می‌شد تا از ورود گرد و خاک (به دلیل عبور کامیونها فقط در شب) به درون آن جلوگیری شود. بدون این روکش دمای



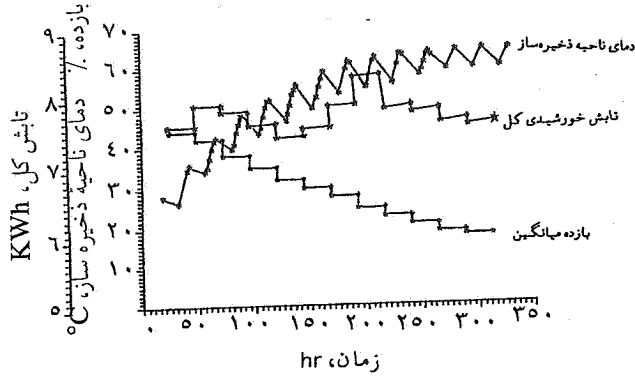
شکل ۴- نیمرخ قائم شوری و دمای استخر در روز ۷۴/۴/۲۷

به طرف بالا، تشعشع با طول موج بلند و هدایت گرما از جدارهای استخر صورت می‌گیرد. برای کم کردن این اتلاف از طریق پخش مولکولی، ضخامت لایه گرادیانی را باید تا حد ممکن بزرگ انتخاب کرد. هر چند این مسئله می‌تواند میزان اشعه خورشیدی را که به لایه ذخیره ساز می‌رسد، تضعیف کند.

۳- ساخت و بررسی استخر خورشیدی

استخر خورشیدی مربع شکلی با سطح $2/5\text{ متر مربع}$ در بالا و 1 متر مربع در کف و به عمق $8/0\text{ متر}$ ساخته شده که دیوارهای و کف آن از نظر گرمایی برای خنثی کردن اثر کوچک بودن استخر روی دمای لایه ذخیره ساز، عایق‌بندی مناسب شده است (برای جزئیات به [۶] مراجعه شود). در شکل (۱) ساختار سازه‌ای استخر نشان داده شده است. عمق لایه ذخیره ساز $3/0\text{ متر}$ و عمق لایه گرادیانی $2/0\text{ متر}$ و عمق لایه سطحی $0/07\text{ متر}$ انتخاب شده است. لایه گرادیانی با روش پر کردن تدریجی استخر با محلول نمکی که غلظت آن به تدریج کاهش می‌یافتد، ایجاد شد. لایه سطحی نیز دارای آب شیرین بوده و با توجه به تبخیر سطحی، هر سه روز یکبار آب شیرین به آن اضافه می‌شد.

یک دستگاه دما‌سنج 6 کاناله و یک دستگاه شوری سنج 1° دقیق ، دما و شوری را با دقتهای به ترتیب $0/2^{\circ}\text{C} \pm 1\text{ gr/kg}$ در عمقهای مختلف استخر در طی ۳۰ روز از تاریخ ۷۴/۴/۲۷ تا ۷۴/۵/۲۷ به طور مداوم اندازه گیری کرده و داده‌ها پس از ثبت توسط کامپیوتر، مورد بررسی قرار می‌گرفت.

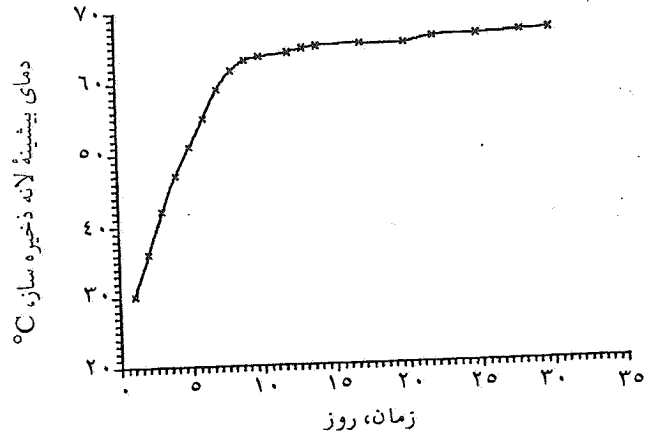


شکل ۵- تغییرات انرژی خورشیدی کل روزانه، دمای لایه ذخیره ساز و بازده میانگین با زمان

می‌دهد. افت شبانه دمای لایه ذخیره ساز در روز بعد تامین می‌شود. تغییرات شبانه روزی نسبتاً زیاد لایه ذخیره ساز به دلیل عمق کم آن است. چون هر چه حجم این لایه کم می‌شود ظرفیت گرمایی آن کمتر شده و زمان ذخیره سازی آن نیز کم می‌شود. در این حالت دمای آن نیز سریعتر افزایش می‌یابد، و به دمای بیشتری می‌تواند برسد.

دمای لایه سطحی در میزان اتلاف گرمایی از سطح موثر است. عواملی که در دمای لایه سطحی تاثیر مستقیم می‌گذارند عبارتند از سرعت باد، تبخیر سطحی و میزان رطوبت هوا. در شکلهای (۷الف) و (۷-ب) برای نشان دادن تاثیر این عوامل، نمودارهای تغییرات دمای لایه سطحی، سرعت میانگین باد، تبخیر سطحی و رطوبت نسبی هوا با زمان آورده شده است. از مقایسه نمودارها دیده می‌شود که در روزهایی که سرعت باد بالاست تبخیر نیز بالا و دمای کمینه لایه سطحی پایین است. در نتیجه اتلاف گرمایی از سطح استخراجی است. در روزهایی که رطوبت بالاست تبخیر کم و دمای کمینه لایه سطحی بالاست. برای پیشگیری از تبخیر شدید سطحی، معمولاً این استخراها را در نقاط دور از باد می‌سازند. یا با درختکاری در اطراف استخرا بادشکن می‌سازند تا تبخیر سطحی کم شود.

با محاسبه عدد ریچاردسون که میزان پایداری هیدرودینامیکی را نشان می‌دهد می‌توان به میزان فرسایش لایه گردایانی پی برد. با توجه به معادله (۹) و در نظر گرفتن سرعت حرکت هموفتی در فصل مشترک لایه ذخیره ساز و لایه گردایانی، $U = \sqrt{3} \text{ mm/s}$ ، و مقدار $\rho = 1/14 \text{ gr/cm}^3$ و $\Delta\rho = 0.14 \text{ gr/cm}^3$ عدد ریچاردسون در حدود $10^{10} \times 4$ است. براساس معادله (۱۰) می‌توان سرعت

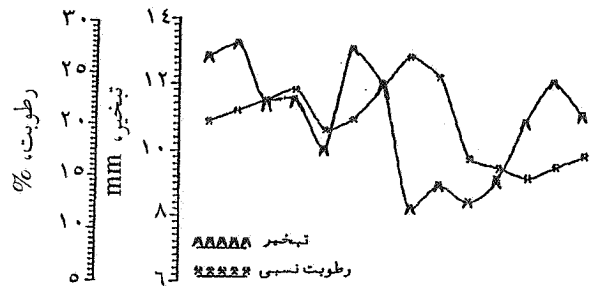


شکل ۶- تغییرات دمای بیشینه لایه ذخیره ساز با زمان

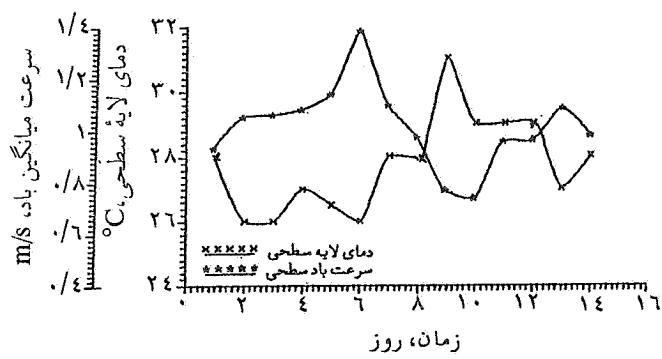
تعادلی حدود ۵ درجه سانتیگراد کمتر است. هنگامی که استخراج دمای بیشینه تعادلی خود می‌رسد میزان تابش خورشیدی ورودی با کل اتلاف انرژی گرمایی برابر شده است. برای دستیابی به دمای بالاتر باید عمق لایه گردایانی بیشتر و وسعت استخراج بزرگ انتخاب شود [۳]. با آنکه دیوارهای استخراج شیبدار است و دمای لایه ذخیره ساز نسبتاً بالاست، ولی علائمی از هموفت پخش دو جانبی [۷] در لایه گردایانی دیده نمی‌شود. پخش دو جانبی در اثر اختلاف ضریب پخش مولکولی گرمایی و نمک به وجود می‌آید. ضریب پخش گرمایی حدود صد برابر مقدار آن برای نمک است.

در شکل (۵) تغییرات، دمای ناحیه ذخیره ساز، تابش کل روزانه و بازده میانگین با زمان دیده می‌شود. بازده میانگین کل (نسبت انرژی که صرف گرم شدن لایه ذخیره ساز می‌شود به کل انرژی دریافتی از روز اول برپایی استخراج) از میزان حدود ۴۰٪ در روز اول شروع و به تدریج کم می‌شود. علت آن افزایش اختلاف دمای استخراج با محیط اطراف و در نتیجه افزایش اتلاف انرژی گرمایی استخراج است. برای بازده بالا باید قبل از نزدیک شدن دمای استخراج به دمای تعادلی بیشینه، در دمای پایینتر از آن بهره‌برداری گرمایی کرد. بازده میانگین در نمودار حدود ۲۵ درصد است و با احتساب میانگین 7.5 kWh برای کل انرژی خورشیدی دریافتی روزانه بر متر مربع در تابستان، انرژی ذخیره شده روزانه حدود $1/9 \text{ kWh}$ به ازای یک متر مربع است.

شکل (۶-الف) تغییرات شبانه روزی انرژی تابشی خورشید و شکل (۶-ب) تغییرات دمای لایه سطحی و لایه ذخیره ساز را نشان



شکل ۷-الف- تغییرات تبخیر سطحی و رطوبت نسبی هوا با زمان

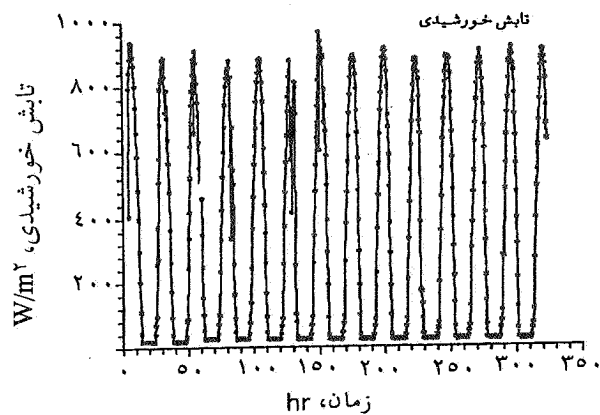


شکل ۷-ب- تغییرات دمای لایه سطحی و سرعت باد میانگین

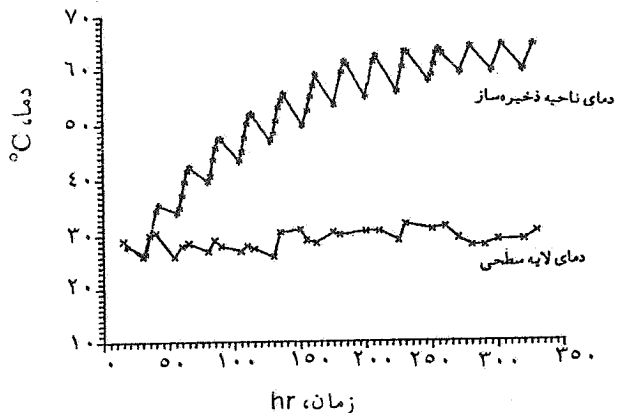
شدن سرعت فرسایش لایه گرادیانی می‌شود. برای ترمیم لایه گرادیانی و ایجاد پایداری بیشتر، معمولاً آب لایه سطحی را که به مرور زمان در اثر پخش شوری از لایه گرادیانی شور می‌شود، از سطح استخراج تخلیه و غلیظ و سپس در غلظت مناسب آن را به داخل ناحیه ذخیره ساز تزریق می‌کنند. در اثر پخش نمک به لایه‌های بالاتر، از شوری لایه ذخیره‌ساز به مرور زمان کاسته می‌شود و با تزریق محلول غلیظ نمک این کمبود شوری جبران می‌شود. به جای آب برداشته شده از لایه سطحی مجددآ آب شیرین اضافه می‌شود [۳].

در یک روش دیگر توسط لوله پلی اتیلن به کف استخراج نمک وارد می‌کنند تا کمبود شوری در این ناحیه جبران شود. این عمل موجب پدید آمدن یک گرادیان ضعیف در ناحیه ذخیره گرمایی می‌شود [۲].

آب استخراج بعد از مدتی، به دلیل اضافه نکردن مواد جلوگیری کننده از رشد باکتریها، رو به کدر شدن می‌رفت. کدر شدن آب سطحی استخراج باعث کاهش بازده گرمایی آن می‌شود. برای جلوگیری از آن به داخل محلول استخراج کلر اضافه می‌شود. برای این



شکل ۶-الف- تغییرات شبانه روزی انرژی خورشیدی



شکل ۶-ب- تغییرات دمای لایه سطحی و لایه ذخیره ساز با زمان

فرساش لایه گرادیانی را در فصل مشترک آن با لایه ذخیره ساز به دست آورد. سرعت حرکت هموفتی در مرز مشترک دو لایه که با مشاهده مستقیم حرکت نشانه انجام شده، 0.3 cm/h می‌باشد. بر ثانیه‌اندازه گیری شده است. $U = 0.12 \text{ W/cm}^2 \text{ K}$ محاسبه شده مربوط به قسمت تحتانی لایه گرادیانی، 1.2 cm سانتیمتر در ماه است که با میزان فرسایش لایه گرادیانی اندازه گیری شده، طبق نمودارهای شکل (۳) همخوانی خوبی دارد.

۴- نحوه نگهداری استخراج خورشیدی

فرساش لایه گرادیانی که نقش عایق گرمایی شفاف را در استخراج خورشیدی ایفا می‌کند، یکی از مشکلات استخراج خورشیدی بوده و مسئله مورد توجه مهمی است. برای کاهش این فرسایش باید قبل از رسیدن استخراج به دمای تعادل بیشینه، از آن بهره‌برداری گرمایی کرد. این عمل باعث کاهش حرکت‌های تلاطمی و هموفتی و در نتیجه کم

کار pH استخراجی باید بین ۵ تا ۶ باشد [۸]. برای جلوگیری از نفوذ گرد و خاک به درون استخراج معمولاً اطراف آن را با فاصله مناسب درختکاری می‌کنند تا از شدت باد و گرد و خاک هوا بکاهد. کدر شدن استخراج در اثر گرد و خاک معلق در هوا در نواحی کویری مشکل مهمی در استخراج خورشیدی ایجاد می‌کند. این مشکل می‌تواند در بازده گرمایی استخراج اثر منفی داشته باشد [۹]. گاه ذرات سبک سطح آب استخراج را می‌پوشانند. با افزایش مقدار بسیار کم پاک کننده می‌توان این ذرات را برداشت.

۵- تئیجه گیمری

استخراج کوچک خورشیدی با عایق‌بندی مناسب و سطح متوسط ۱/۵ متر مربع و عمق ۸۰ متر ساخته شد و با لایه‌های ذخیره ساز، گرادیانی و سطحی به ترتیب به ضخامت‌های ۳۰/۰، ۲۷/۰ و ۰/۷۰ متر در روزهای اواسط تابستان با موفقیت آزمایش شد. دمای بیشینه لایه ذخیره ساز برای شرایط آزمایش بعد از حدود ده روز به ۶۵ درجه سانتیگراد رسید. تغییرات شباهنروزی نسبتاً زیاد دمای لایه ذخیره ساز (تقریباً ۸ درجه) بیشتر به دلیل کوچک بودن عمق این لایه و سطح استخراج است. این نیز عامل اصلی کوتاهی مدت زمان رسیدن دمای استخراج به مقدار بیشینه خود است. دمای بیشینه لایه ذخیره ساز، در مقایسه با استخراج‌های بزرگتر نسبتاً بالاست. مثلاً دمای استخراج خورشیدی که فین و شورت [۸] با سطح ۱۵۵ متر مربع و عمق ۳ متر و با عمق لایه ذخیره ساز ۱/۸ متر به کار برده‌اند، بعد از ۵ ماه در تابستان به مقدار بیشینه ۶۳ درجه سانتیگراد رسیده است. با توجه به شبیدار بودن دیواره استخراج، هیچ‌گونه علامتی که نشانه هموفت پخش دو جانبه باشد، دیده نشد [۱۰]. بازده گرمایی استخراج به دمای لایه ذخیره ساز وابسته است، و

واژه نامه:

- 9. entrainment speed
- 10. salinometer
- 11. double diffusive convection

مراجع

1. solar pond
2. storage zone
3. thermal efficiency
4. gradient zone
5. surface layer
6. static stability
7. hydrodynamic stability
8. Richardson number
1. Flochitto, S., "Seawater as Salt Water Source for Solar Pond," *Solar Energy*, Vol. 46, No. 6, pp. 343-351, 1991.
2. Garg, H. P., "Solar Ponds," in *Advances in Solar Energy Technology*, ch.3, D. Reidel, 1987.
3. Srinivasan, J., "Performance of a Small Solar Pond

- in the Tropics," *Solar Energy*, Vol. 4, pp. 221-230, 1990.
4. Akbarzadeh, A., "Convective Layers Generated by Walls in Solar Ponds: Observation," *Solar Energy*, Vol. 43, No. 1, pp. 17-23, 1989.
5. Zangrandi, F., "On the Hydrodynamics of Salt Gradient Solar Ponds," *Solar Energy*, Vol. 46, No. 6, pp. 323-341, 1991.
6. بیدختی، ع.، محمدزاده، ع.، و معینی، م. "بررسی پایداری و رفتار گرمایی یک استخر خورشیدی تحقیقاتی کوچک،" گزارش طرح پژوهشی موسسه زئوفیزیک دانشگاه تهران، شماره ۱۳۷۴/۱۲۲۲، سال ۱۳۵۱/۱.
7. Turner, J. S., *Buoyancy Effects in Fluids*, Cambridge University Press, 1976.
8. Fynn, R. and Short, T., "The Salt Stabilized Solar Ponds for Space Heating," *The Ohio State University Circular* 106, 1983.
9. Hassb, M. A. and Kamal, A., "Problems Encountered in Operating Solar Ponds in the Arabian Gulf Region," *Solar Energy*, Vol. 43, No. 3, pp. 169-181, 1989.
10. Tabor, H. Z. and Doron, B., "The Beith Ha'arava 5 MW(e) Solar Pond Power Plant (SPPP)-Progress Report," *Solar Energy*, Vol. 45, No. 4, pp. 247-253, 1990.